

# Исследование структуры поверхности облученной окиси алюминия, содержащей трехокись урана

НАДЫКОТ Б. Т., БОГДАНОВА Е. А.

УДК 541.15

Окислы урана в сочетании с  $\text{Al}_2\text{O}_3$  и  $\text{BeO}$  могут представлять интерес в качестве материалов, пригодных для изготовления твэлов. В настоящее время изучаются возможности использования этих материалов. Достаточно подробно изучены плотность, механические и кристаллографические свойства  $\text{Al}_2\text{O}_3$  и  $\text{BeO}$ , содержащих окислы урана, после облучения их в ядерном реакторе [1—4]. Однако в результате облучения нейтронами и осколками деления  $^{235}\text{U}$  можно ожидать значительные изменения пористой структуры вещества [5].

Поверхностная структура радиационно обработанной  $\gamma$ -окиси алюминия, содержащей 11 вес.%  $\text{UO}_3$ , изучалась методом низкотемпературной адсорбции азота ( $T = 195,8^\circ\text{C}$ ). Проведен рентгенографический анализ облученных и необлученных образцов промышленной  $\gamma\text{-Al}_2\text{O}_3$ , содержащей следующие примеси (вес. %): Fe 0,005, Na 0,1, Cu 0,005, Si 0,007, Mg 0,002. Пропитанный раствором азотокислого уранила порошок  $\gamma\text{-Al}_2\text{O}_3$  высушивался при  $110^\circ\text{C}$ , затем для разложения уранилнитрата прокаливался при  $550^\circ\text{C}$  в токе очищенного воздуха. Анализ показал, что приготовленная таким образом  $\gamma\text{-Al}_2\text{O}_3$  содержит 11 вес.%  $\text{UO}_3$ .

Облучение проводили в вертикальном «мокром» канала активной зоны ядерного реактора ВВР-К. Интегральный поток тепловых нейтронов во всех случаях составлял  $1 \cdot 10^{18} \text{ нейтр}/\text{см}^2$ . Поверхностную структуру (удельную поверхность и пористость образцов) изучали на адсорбционной установке «Сорптоматик» по азоту. Рентгенографический анализ проводили на дифрактометре ДРОН-1 с медным излучением длиной волны  $1,541 \text{ \AA}$ .

На рис. 1 представлены изотермы адсорбции азота на необлученной и облученной  $\gamma\text{-Al}_2\text{O}_3$  (по оси абсцисс отложено относительное давление равновесия  $p/p_0$ , по оси ординат — величина адсорбции азота  $V$ ). Начальные участки изотерм практически совпадают, незначительно различаются лишь области капиллярной конденсации. Удельная поверхность, рассчитанная методом БЭТ [6], для необлученного образца составляла  $162 \text{ м}^2/\text{г}$ , для облученного  $167 \text{ м}^2/\text{г}$ . Объем пор рассчитывали по уравнению Кельвина [6]:

$$\lg p/p_0 = -\frac{2W\gamma \cos \varphi}{R_k RT},$$

где  $p$  — равновесное давление газа-сорбата;  $p_0$  — давление насыщения сорбата при температуре, выраженной в  $K$ ;  $\gamma$  — поверхностное натяжение сорбата в жидким состоянии;  $W$  — молярный объем сорбированного газа в жидким состоянии;  $R$  — универсальная газовая постоянная;  $R_k$  — радиус поры, заполненной при давлении  $p$ ;  $\varphi$  — краевой угол мениска жидкости со стенкой поры. Если предположить, что жидкость абсолютно смачивает пору, то  $\varphi = 0$  и уравнение Кельвина принимает следующий вид:

$$\lg p/p_0 = -\frac{2W\gamma}{R_k RT}.$$

По изотермам десорбции в области капиллярной конденсации (петля гистерезиса) можно рассчитать величину  $W$  для соответствующих  $p/p_0$ . Таким образом, уравнение Кельвина позволяет определить радиус поры,

освобождающейся при давлении  $p$  от жидкого азота. Однако на стенке поры остается слой адсорбированного азота толщиной

$$t = \sigma \left[ \frac{5}{2,303 \lg p_0/p} \right]^{1/3},$$

где  $\sigma$  — толщина монослоя адсорбированных молекул (для азота  $\sigma = 4,3 \text{ \AA}$ ). С учетом толщины адсорбционного слоя радиус поры, освободившейся от жидкого азота при давлении  $p$ , равен  $R_p = R_k + t$ .

Графики зависимости объема жидкого азота  $W$  от радиусов освобождающихся пор  $R_p$ , представляющие собой структурные кривые для необлученной и облученной  $\gamma\text{-Al}_2\text{O}_3$ , приведены на рис. 2. Из рисунка видно,

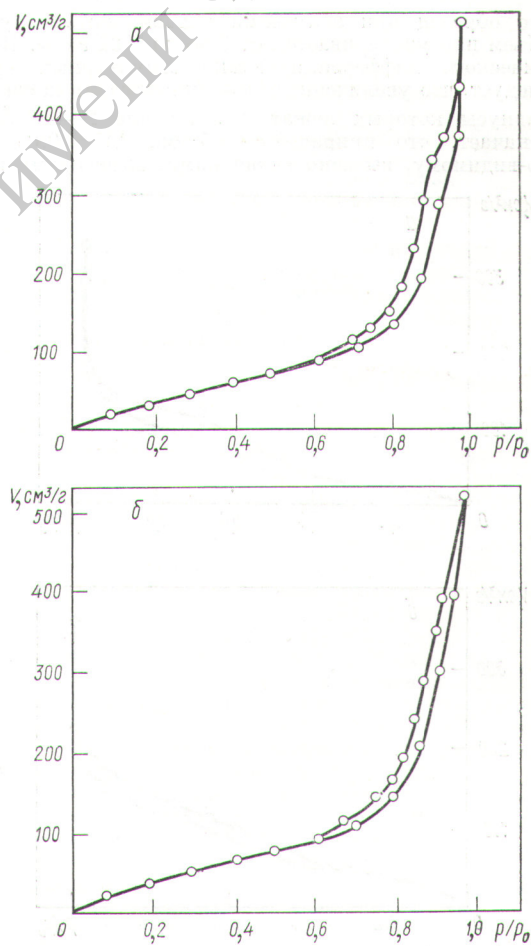


Рис. 1. Изотермы адсорбции азота на промышленной  $\gamma\text{-Al}_2\text{O}_3$ , облученной и необлученной потоком  $1 \cdot 10^{18} \text{ нейтр}/\text{см}^2$  (а и б соответственно).

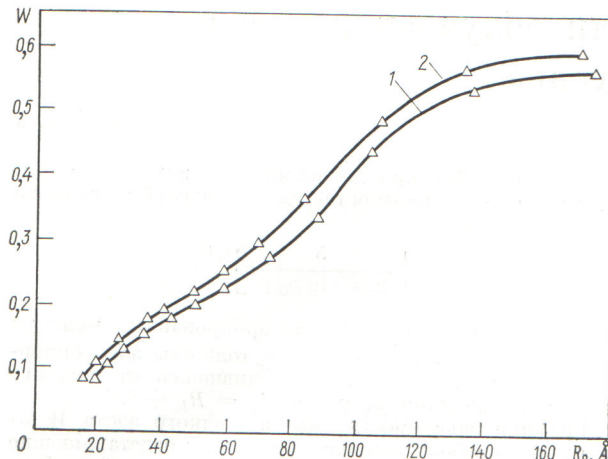


Рис. 2. Структурные кривые немодифицированной  $\gamma\text{-Al}_2\text{O}_3$  (1, 2 — необлученная и облученная соответственно).

что образец при облучении равномерно «распухает», объем пор увеличивается от 0,58 до 0,62  $\text{cm}^3/\text{г}$ . Из графического дифференцирования структурных кривых следует, что увеличение объема происходит за счет пор, радиусы которых лежат в интервале 20–90  $\text{\AA}$ . Это означает, что приращение объема  $\Delta V = 0,04 \text{ cm}^3/\text{г}$ , по-видимому, вызвано вакансиями, вышедшими на по-

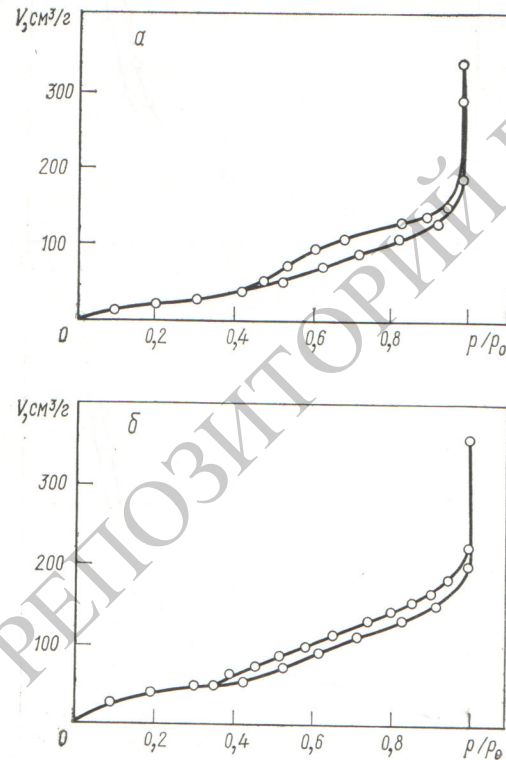


Рис. 3. Изотермы адсорбции азота на промышленной  $\gamma\text{-Al}_2\text{O}_3$ , модифицированной  $\text{UO}_3$ : а —  $\text{Al}_2\text{O}_3$  облучена; б —  $\text{Al}_2\text{O}_3$  облучена потоком  $1 \cdot 10^{18} \text{ нейтр}/\text{см}^2$ .

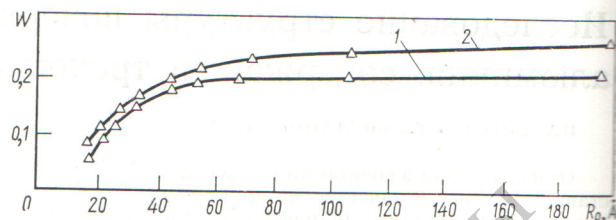


Рис. 4. Структурные кривые модифицированной  $\gamma\text{-Al}_2\text{O}_3$  (1, 2 — необлученная и облученная соответственно).

верхность. Исходя из особенностей кристаллической структуры  $\gamma$ -окиси алюминия [7, 8], предполагаем, что в решетке, облученной  $\gamma\text{-Al}_2\text{O}_3$ , преобладают катионные вакансии  $\text{Al}^{3+}$ , октаэдрические пустоты, радиусы которых составляют  $\sim 2 \text{ \AA}$ . Тогда объем одной вакансии  $\sim 32 \text{ \AA}^3$ , а зная изменение объема  $\Delta V$  после облучения, определяем число вакансий

$$n = \frac{0,04 \cdot 10^{24} \text{ \AA}^3}{32 \text{ \AA}^3 \cdot 1 \text{ г}} = 1,25 \cdot 10^{21} \text{ е}^{-1}.$$

Таким образом, изменение объема при облучении на  $0,04 \text{ см}^3/\text{г}$  соответствует выходу на поверхность  $1,25 \cdot 10^{21}$  вакансий в 1 г  $\gamma$ -окиси алюминия.

Изотермы адсорбции  $\gamma\text{-Al}_2\text{O}_3$ , содержащей 11 вес.-% трекокиси урана, приведены на рис. 3. Модифицирование существенно изменяет вид изотермы как в начальной, так и в области капиллярной конденсации (см. рис. 1, а и 3, а). Удельная поверхность  $\gamma\text{-Al}_2\text{O}_3 + 11$  вес.-%  $\text{UO}_3$  составляет  $130 \text{ м}^2/\text{г}$ , общий объем переходных пор и микропор  $0,21 \text{ см}^3/\text{г}$ . Из рис. 3 видно, что облучение изменяет изотерму адсорбции азота на  $\gamma\text{-Al}_2\text{O}_3 + 11$  вес.-%  $\text{UO}_3$ , удельная поверхность возрастает до  $140 \text{ м}^2/\text{г}$ , общий объем пор увеличивается до  $0,26 \text{ см}^3/\text{г}$ . Структурные кривые этих образцов показаны на рис. 4. Из сравнения кривых, представленных на 2 (а) и 4 (а), можно сделать вывод, что  $\text{UO}_3$  закупоривает поры с радиусами больше  $60 \text{ \AA}$ . При облучении образцов, содержащих  $\text{UO}_3$ , общий объем пор увеличивается на 25 % больше по сравнению с образцами, не содержащими  $\text{UO}_3$ . Это объясняется тем, что образцы наряду с нейтронами облучаются также осколками деления  $^{238}\text{U}$ . При облучении  $\gamma\text{-Al}_2\text{O}_3$ , содержащей  $\text{UO}_3$ , в радиационных повреждениях возрастает роль примесных атомов, образующихся в результате ядерных превращений.

Данные рентгенографического анализа показывают, что облучение  $\gamma\text{-Al}_2\text{O}_3$  уменьшает размер первичных блоков кристаллитов с  $67$  до  $63 \text{ \AA}$ , не изменяя постоянной решетки, которая равна  $7,84 \text{ \AA}$ . Облучение  $\gamma\text{-Al}_2\text{O}_3$ , содержащей трекокись урана, приводит к значительному уменьшению размера блоков (с  $61$  до  $43 \text{ \AA}$ ); период решетки при этом несколько возрастает — с  $7,85$  до  $7,90 \text{ \AA}$ . Увеличение периода решетки также косвенно подтверждает образование примесных атомов, которые могут располагаться как в узлах, так и в междоузлиях. Уменьшение размеров блоков при облучении подтверждает разрушающее действие радиации, приводящее к изменению пористой структуры  $\gamma\text{-Al}_2\text{O}_3$ .

Таким образом, облучение  $\gamma$ -окиси алюминия интегральным потоком тепловых нейtronов  $1 \cdot 10^{18} \text{ нейтр}/\text{см}^2$  существенно изменяет структуру ее поверхности. Для образцов  $\gamma\text{-Al}_2\text{O}_3$ , содержащих  $\text{UO}_3$ , эти изменения еще более значительны.

Поступило в Редакцию 13/VIII 1973 г.

## СПИСОК ЛИТЕРАТУРЫ

1. Bleiberg M. Venice Conf. 1963, № 3, p. 319.
2. Berman R. J. Nucl. Materials, 1960, № 2, p. 129.
3. Конобеевский С. Т. Действие облучения на материалы. М., Атомиздат, 1967.
4. Ластман Б. Радиационные явления в двуокиси урана. М., Атомиздат, 1964.
5. Кекельберг Р., Крук А., Френе А. В сб.: Катализ.

6. Грег С., Синг К. Адсорбция, удельная поверхность, пористость. М., «Мир», 1971.
7. Ерофеев Б. В. Переходные металлы и их свойства. М., «Знание», 1966.
8. Lippens B. In: Proc. Phys. and Chem. Asp. of Adsorb. and Catalysts. London-New-York, Acad. Press, 1970.

## Антифрикционные свойства некоторых облученных сталей в среде натрия

КРАСНОЩЕКОВ М. М., ЛЫСЯК С. Д., МАРКОВСКИЙ Е. А.

УДК 621.891:669.14:621.039

Цель настоящей работы заключалась в определении антифрикционных характеристик ряда облученных материалов в условиях одновременного воздействия нагрузки, натриевой среды и повышенных температур. Исследованы сталь X18Н9, эта же сталь после поверхностного упрочнения (хромирование и азотирование при 1150° С), стали Р18 и ЭИ-347Ш после стандартной термообработки (закалка и отпуск), а также сплавы ЦН-2 и ЦН-12.

Образцы облучали в вакуумно-гелиевых каналах ядерного реактора типа ВВР-М интегральной дозой быстрых нейтронов  $2,7 \cdot 10^{20}$  нейтр/ $\text{см}^2$  и тепловых нейтронов  $9 \cdot 10^{20}$  нейтр/ $\text{см}^2$  в течение 998,5 ч при температуре 650 °С. Исследованы три группы образцов — исходные, термостатированные и облученные. Термостатирование проводили в аргоне при 650 °С в течение 998,5 ч. Горячую твердость определяли на переоборудованном приборе Виккерса в интервале 20—600 °С в потоке аргона. Испытания на трение и износ в жидком натрии и в смеси аргона и паров натрия проводили в герметичной камере при температуре 350 °С, удельном давлении 25 кг/ $\text{см}^2$  и скорости скольжения 5 м/мин; путь трения составлял 1,2 км в каждой среде.

В результате облучения и термостатирования горячая твердость хромировано-азотированного слоя стали X18Н9 и сплава ЦН-12 растет, причем облученные материалы имеют относительно более высокую твер-

дость. Эти данные подтверждаются результатами измерения микротвердости в сечении образца, свидетельствующими об упрочнении этих материалов.

Термостатирование сталей Р18 и ЭИ-347Ш (рис. 1) приводит к резкому падению горячей твердости; облучение вызывает еще большее ее снижение, что указывает на значительные изменения микроструктуры. Металлографическим анализом установлено, что мартенсит термостатированных образцов, распадаясь при нагреве, превращается в сорбит отпуска (рис. 2). Облучение способствует более интенсивной коагуляции феррито-цементитной смеси и дальнейшему разупрочнению закаленных сталей. Эти данные подтверждают наблюдавшийся ранее эффект разупрочнения закаленных сталей под облучением [1].

Результаты испытаний образцов на машине трения (рис. 3) указывают на значительное влияние среды: коэффициенты трения и износ меньше в жидком натрии, чем в аргоне с парами натрия. В ряде опытов в жидком натрии наблюдалось некоторое увеличение суммарной толщины образцов, что вызвано, по-видимому, образованием на их поверхности новых хемосорбированных соединений в начале испытания.

Натрий как высокотемпературная смазка характеризуется адсорбционным, диффузионным и коррозионным действием [2]. Антифрикционные свойства материалов в натрии зависят также от интенсивности химических реакций на границе раздела. Термодинамический расчет показывает, что взаимодействие окислов хрома с натрием и окиси натрия с хромом и окисью хрома приводит к образованию соединения  $\text{Na}_2\text{CrO}_3$ . Этот хемосорбированный двойной окисел стабилен вплоть до 600 °С и является высокотемпературной твердой смазкой, снижающей коэффициент трения. Видимо, при трении в жидком натрии протекают одновременно два процесса: износ материала и образование пленки окисла, причем в начале испытания превалирует второй процесс.

Изменение износстойкости при облучении прямо связано с изменением твердости (см. рис. 3). Так, при испытании образцов ХА в парах натрия износстойкость и твердость увеличиваются после термостатирования и особенно облучения. Прямая зависимость между износстойкостью и твердостью обнаруживается и для образцов ХА-С и ЦН-12. Но, если отсутствуют необратимые структурные превращения, износстойкость материалов при облучении изменяется мало. Резкое снижение износстойкости облученных сталей Р18 и ЭИ-347Ш связано с распадом мартенсита в условиях повышенной диффузионной подвижности атомов при терморадиационной обработке. В данных температурных условиях облуче-

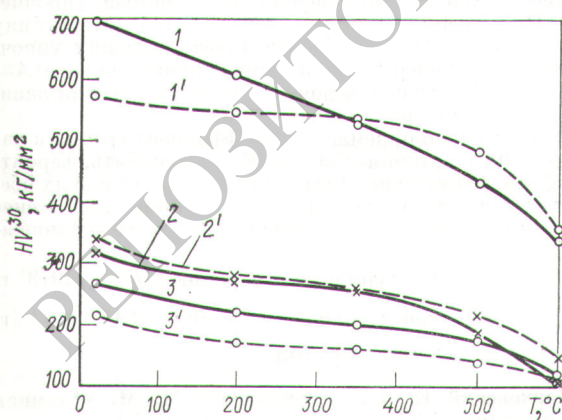


Рис. 1. Горячая твердость сталей ЭИ-347Ш (1, 2, 3) и Р18 (1', 2', 3'):

1 и 1' — исходная; 2 и 2' — термостатированная; 3 и 3' — облученная.